

II-181 長方形水路の抵抗法則について(その4)

日本大学工学部

日本大学工学部

正員 木村喜代治

学生員 長林久夫

長方形水路の壁面および底面粗度が等しい場合には、先に示した平均流速式は

$$\frac{\bar{U}}{U_{*R}} = \frac{1}{R_b} \left(\frac{\bar{U}_{*b}}{U_{*R}} \right) \left\{ \ln \left(\frac{h}{y'} \right) - 1 \right\} = \frac{1}{R_b} \left(\frac{\bar{U}_{*w}}{U_{*R}} \right) \left\{ \ln \left(\frac{b}{2y'} \right) - 1 \right\} \quad (1)$$

この式の \bar{U}_{*b}/U_{*R} および \bar{U}_{*w}/U_{*R} を $U_{*R} R/b$, h/R_b などをパラメータとして $2h/b$ を変化せしめて計算すると、 \bar{U}_{*b}/U_{*R} は $2h/b \leq 1.0$ において、ほぼ 1.0 になり(このとき、この値の最大は $2h/b$ が 0.3 付近に現われ、 h/R_b が小さいほど大きくなり、 h/R_b が 8.0 で(ほぼ 1.03 である)。また \bar{U}_{*w}/U_{*R} は $2h/b \geq 1.0$ において 1.0 になり(このとき、この値の最大は $2h/b$ が 3.0 付近で、 h/R_b が 8.0 で(ほぼ 1.03 である))。よって全辺滑面および全辺等粗面の水路における平均流速式は式(1)を近似的に下記式で表わしても大差がない

$$\frac{2h}{b} \leq 1.0 \text{ のとき } \frac{\bar{U}}{U_{*R}} = \frac{1}{R_b} \left\{ \ln \left(\frac{h}{y'} \right) - 1 \right\}, \quad \frac{2h}{b} \geq 1.0 \text{ のとき } \frac{\bar{U}}{U_{*R}} = \frac{1}{R_b} \left\{ \ln \left(\frac{b}{2y'} \right) - 1 \right\} \quad (2)$$

ここで等粗面であるから $y' = y'$ であり、滑面のとき $y' = 0.111 D/U_{*R}$ とする。式(2)と実験データとの適合性を調べるために、Powell のデータ(滑面)と Baytin のデータ(粗面)に式(1)、式(2)、Keulegan, 足立, Goto & Komura, 二次元などの諸式をあてはめ計算値と実測値の比較をしたのが Fig. 1, 2 である。これららの図より近似式(2)はデータにほぼ適合すると見ても良いであろう。さて壁面状態が粗滑遷移領域のときに、円管では Colebrook-White の式があることは良く知られていて。長方形水路の場合に遷移領域について Colebrook と White の取扱いと同様な方法によつて抵抗式を導いてみる。なお、水理的に粗面であるか滑面であるかの判別は良く知られていて、層流底層の厚みと粗度要素の高さとの相対的大きさによって決まる。前報では潤辺上の摩擦速度は一定ではなく変化するものと考えたが同一面内においても粗面であるものが陽角に近いところでは摩擦速度は小さく滑面と考えられるようになる。しかしこのようにするといわば複雑になるから、滑面では $y' = 0.111 D/\bar{U}_{*b}$, $y' = 0.111 D/\bar{U}_{*w}$ と一方粗面では $y' = R_b/30$, $y' = R_w/30$ とした。そしてこの粗滑の何れか大きい方の y' (または y') によって、その面の粗滑を決めた。このようにしたとき、等粗面では、例へば $2h/b < 1.0$ (=のとき $\bar{U}_{*w} < \bar{U}_{*b}$) のある一定値に対し、Reynolds 数の大きいところでは壁面と底面が粗面であったものが、より小さな Reynolds 数では壁面が滑面となり、更に Reynolds 数が小さくなると底面を滑面になると考えられる。このとき、壁面が滑面で底面が粗面と考えた領域は $2h/b$ が 1.0 では存在せず、 $2h/b$ が小さいほど大きくなるが、この領域が大きくなるほどこのときの摩擦係数(あるいは \bar{U}/U_{*R} の値)はほぼ一定であり、三邊とも粗面のときの値に極めて近い(Fig. 3 参照)。よつて抵抗関係を考えるとき、 $2h/b$ の値にかかわりず壁面底面とも粗面であったものが、Reynolds 数のある値のとき同時に滑面になると考へても大差がない。従つて遷移領域を考えるととき、 $2h/b$ の値にかかわりず、壁面と底面が同時に粗面、遷移領域、滑面になると考へる。

$$\left. \begin{aligned} \frac{2h}{b} \leq 1.0 \text{ のとき } \frac{1}{\sqrt{R}} &= -0.884 \ln \left(\frac{0.0906}{h/R_b} + \frac{0.853}{Re \sqrt{R}} \frac{R}{h} \right) \\ \frac{2h}{b} \geq 1.0 \text{ のとき } \frac{1}{\sqrt{R}} &= -0.884 \ln \left(\frac{0.0906}{b/2R_w} + \frac{0.853}{Re \sqrt{R}} \frac{2R}{b} \right) \end{aligned} \right\} \quad (3)$$

ここに λ : 摩擦係数, $Re = \pi R / \nu$, なお粗面遷移領域との境界は Colebrook-White にならって $Re\sqrt{\lambda} / (R/\lambda_b) = 200$ とした。 $2h/b = 1.0$ の場合には、これらの式を用いて λ を計算量化したのが Fig. 4 である。式(3)を Bazin のデータ、松尾のデータと比較したのが Fig. 5 であり、また松尾のデータに対する式(2)による滑面ヒルの取扱いと式(3)による遷移領域としての取扱いとを比較したのが Fig. 6 である。

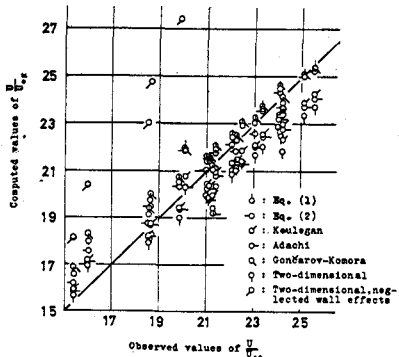


Fig. 1 Relations between Powell's data (a) and various formulas.

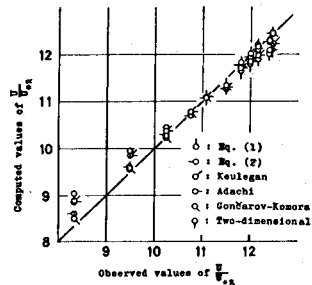


Fig. 2 Relations between Bazin's data, series 5 and various formulas.

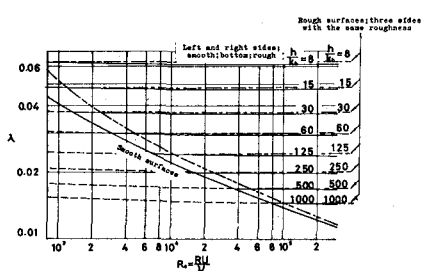


Fig. 3 Friction factor: $2h/b=0.06$

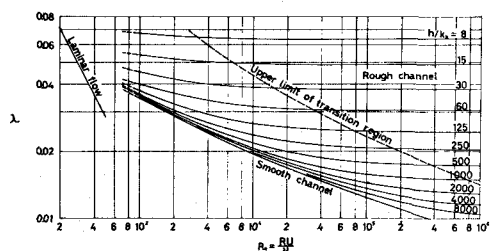


Fig. 4 Friction factor: $2h/b=1.0$

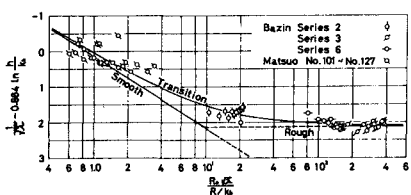


Fig. 5 Relations between Eq.(3) and various data.

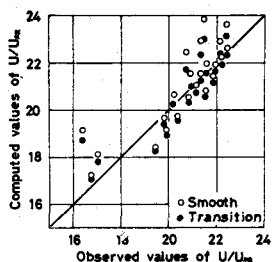


Fig. 6 Observed values of Matsuo's data No.101-No.127 against computed values from Eq.(2) (as a smooth channel) and Eq.(3).